

第 2 章

形态（基础篇）

真正好的理论或者说有价值的理论，应当能够一次又一次地解释和验证其理论所指的对象，更重要的是，它一定是简洁的。股市波动规律可以用一句话来完全的概述其轮廓，那就是：

股市上涨是三波或者五波形态，股市下跌是三波形态。

以上规则可以套用在全球任何股市的任何牛市与熊市的形态之中。上涨三波，一共包含 1、2、3 浪，其中 1、3 浪向上运动，2 浪向下运动。上涨五波，一共包含 1、2、3、4、5 浪，其中 1、3、5 浪向上运动，2、4 浪向下运动。下跌三波，一共包含 A、B、C 浪，其中 A、C 浪向下运动，B 浪向上运动。但是，仅凭这一段简短的阐述，没人能做到基于此法则预测股市的涨跌走势。

显而易见，股市波动规律的复杂性必须用更多的文字才能够诠释得更为透彻。当我思考和总结股市波动规律时，目的不是要推出一个谁也不能证伪的万能法则，而是要在可操作的层面上，尽量细化地给出股市预测的

多种解决路径。

本书从本章开始提出了几十条定理，这些定理有主有次，一些关键定理统筹整个股市波动规律。这些定理的内容架构依照一个基本思路，那就是先从形态上介绍股市波动的基本原则，再从这些形态原则出发，分章节探讨幅度、时间、方向、角度、量能、重现六个部分并列揭示股市波动的规律。事实上，形态是其他六个系列定理的基础，只有保证形态识别的正确性，其他六个系列定理才能得出正确的结果，但是，其他六个系列定理也是形态识别的手段，两者互为依附。

第2章将搭建一个基础的、宏观的股市波动规律框架。笔者在第2章为读者勾勒出了股市波动规律的粗略线条，其中有“旧波浪理论”的继承，也有“新波浪理论”的开拓。我们将在本章完整回顾艾略特波浪理论的思想，取其精华，并对一些笔者不赞同的理论进行修正。受到艾略特波浪理论的启发写出此书，鄙人提出了一些与波浪理论不同的看法，这并不是对波浪理论的不恭和否定，恰恰相反，这是对前辈理论的提炼、升华与扩展，更是出于对自然规则的敬畏和未知科学领域的探索。当然，仅仅凭借第2章的内容，我们想要在真正意义上的去预测股市仍旧困难重重，过度宏观和粗线条的定理虽然保证了定理很难被反驳，但却没有实际操作意义，这也是人们常常讲波浪理论总是导致“千人千浪”的原因。

第3章进一步细化了上涨和下跌过程的细节形态规则，并着重强调了先前波浪理论并未涉及的上涨形态，以及下跌过程之中形态内部的细节。这些内容将会比第2章的内容更进一步细化地去诠释股市波动的规则。

在第3章之后，我将从六个维度阐述股市波动规律，这包括幅度、时间、方向、角度、量能、重现，这些内容将会以并列的关系展开。另外，一些关键形态譬如X浪、楔形，以及形态识别的技巧等内容将会独立成章开展讨论。

在本书之中，所有上涨趋势之中的子浪形态都以1、2、3、4、5这样

的数字标注，所有下跌趋势之中的子浪形态都以 A、B、C、D、E、W、X、Y 这样的字母标注。

牛熊循环定理

上涨形态为三波或者五波，下跌形态为三波。

8 浪循环是艾略特波浪理论的核心，其中包含了牛市与熊市形态存在不同的理念。艾略特认为，牛市应当为 1、2、3、4、5 五波，其中 1、3、5 浪上涨，2、4 浪下跌；熊市则是 ABC 三波，其中 A、C 浪下跌，B 浪上涨（见图 2-1）。

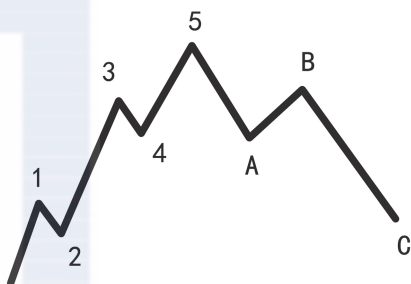


图 2-1 艾略特波浪理论 8 浪循环

如前所述，笔者对股市上涨的形态为五波有些不同的看法。上涨过程之中，形态应当不仅仅可以为五波，也可以为三波。为什么呢？这是我长期对股市形态的观察和理解得出的结论。艾略特认为上涨五波是正确的，但五波只是上涨形态的选项之一。经过笔者统计，在全球 30 年来的主要股市之中，仅仅三成的大牛市为五波上涨形态，剩下的绝大部分形态却并不是五波，而是三波。五波推动是波浪理论体系的重要概念，其不仅出现在一个大牛市之中，并且也是三波形态内部不可或缺的组成元素。而五波形态之中，其子浪也常常为三波形态，两者你中有我、我中有你，共生共存。不难想到一个逻辑，那就是三波和五波是自然界能够缩减到的最小的上涨形态组合，上涨必须是奇数，一波上涨没有回调，三波上涨有一次回调，五波上涨有两次回调，七波上涨？完全可以被算作两个三波上涨！九

波上涨？不过是五波上涨和三波上涨的组合！讲到这里各位就明白了，三波和五波上涨的本质就是上涨的基础元素，任何上涨都可以被归结为这两种上涨形态的组合。当然，形态波动并不是仅仅简单的加减，之后我们再更深入地讨论。更重要的是，三波上涨在本书中被分类为弱三波、双峰形态。弱三波和双峰各有其内在波动的规律，这两个形态的详细阐述将放在第3章“形态（扩展篇）”之中详细介绍。

牛市之中，无论是五波上涨还是三波上涨，都表明了市场资金与众多投资者行为的结合之后，能够推动股市指数的极限高度。入市资金的多少和经济基本面的好坏息息相关，更活跃的经济水平表明企业盈利能力增强，交易对未来经济趋势普遍看好，才会更愿意购买企业所发行的股票，而当经济萧条时，企业盈利能力下降，市场交易者的投资意愿减淡，推动股价上涨的资金变少，当股价不能够连续上涨时，资金成本的压力使得部分投资者开始抛售股票，股价将趋于掉头向下。总之，一个国家经济发展的冷热将会通过资金流入与流出股市来影响股市指数的涨跌。资金是影响股市指数涨跌的直接原因。

无论是上涨五波还是三波，其都是一个上涨周期的终结，之后只能是ABC三波调整，这个三波形态可以是ABC形态，也可以是两个ABC形态的结合，这被另一个推动波浪理论发展的小罗伯特·普莱切特（Prechter R. R. Jr）称之为WXY形态。总之，上涨和下跌总会是8浪循环或者6浪循环，再无其他可能性。我们将在下一节详细探讨熊市之中ABC形态的两种类型——锯齿形调整与平台形调整。需要提醒各位，并不是持续数月甚至数年的上涨才叫牛市，也不是持续数月甚至数年的下跌才叫熊市，只要完整地走出了一个6浪循环或者8浪循环，并且熊市回调超过牛市涨幅的38.2%，都可能是一个完整的牛熊周期，我们将在第10章的“牛市结束定理”这一节详细谈到这个问题。

图2-2为上证指数2006年年底～2008年年底的大级别牛熊周期。从

中我们可以看出，其上涨为五波形态，下跌为 WXY 三波，牛熊周期最终组成“8浪循环”。WXY 三波与 ABC 三波在内在逻辑以及形态规则上差异较大，我们将在 X 浪定理之中详细介绍。



图 2-2 上证指数 2006 ~ 2008 年的牛熊周期

图 2-3 为上证指数 2016 年 1 月底开始的三波形态的小周期牛市，其牛市结束后为 ABC 三波下跌，这个不足半年的小牛熊周期最终组成“6浪循环”。



图 2-3 上证指数 2016 年 1 ~ 5 月的牛熊周期

ABC 三波定理

艾略特波浪理论认为，熊市 ABC 三波可分为锯齿形与平台形调整，锯齿形调整 A 浪为五波，B 浪为三波，C 浪为五波；平台形调整 A 浪为三波，B 浪为三波，C 浪为五波。笔者的研究结果与此差异较大，本书认为任何下跌都应当呈现为三波形态，无论是锯齿形还是平台形，其 A、C 浪都应为三波下跌。其原因在本书第 1 章涨跌形态假说中已经诠释。这也是本书所阐述的股市波动形态规则与艾略特波浪理论最大的不同之一。

锯齿形调整是熊市形态之中最为常见的一种，几乎所有国家股票市场的熊市都曾出现过锯齿形调整，其出现在任何大级别熊市的概率超过六成。锯齿形在任何国家的股市熊市之中都是最容易出现的形态，而 A 浪和 C 浪这两个子浪之中的任何一个都可以成为锯齿形调整之中最长的子浪。一个单独的锯齿形完成整个熊市的回调也是常见的，其中无论是 A 浪还是 C 浪的幅度都非常大。锯齿形调整的特征是其 B 浪反弹的空间和时间较为有限，这表明市场交易者已经对趋势不抱任何希望，资金快速、大量地撤离市场。在熊市中，锯齿形也可以和另一个锯齿形或者平台形组成联合形调整，因此锯齿形可以出现在 W 浪，也可以出现在 Y 浪。中间由 X 浪相连。这将在下一节“X 浪定理”中详细阐述。

与锯齿形一样，平台形调整分为 ABC 三波，其中 A 浪是三波结构，B 浪是三波结构，而 C 浪也是三波结构。平台形调整是熊市两大调整形态的另一种形态，平台形调整出现在熊市的概率约为五成，且平台形成为一个牛市的独立调整形态一般存在于中小级别熊市。大中周期平台形调整往往具有一个较大幅度的 C 浪三波，平台形调整背后的含义是市场之中对于趋势是否将继续下跌有分歧和抵抗，这种分歧在 B 浪回撤 A 浪下跌的大部分幅度上已经表现出来，但是，由于市场抄底资金力量的提前释放，

平台形 C 浪将会出现一个远超 A 浪幅度的下跌。

那么，如何区分一个 ABC 三波为锯齿形或者平台形呢？它们到底有何关键区别？其实，它们的一个最重要区别就是 B 浪反弹幅度是否超过 A 浪的 61.8%，超过此界限为平台形，未超过此界限则为锯齿形。因此，锯齿形和平台形的差别不在于子浪的形态，而在于子浪的比例，这与波浪理论的观点完全不同。有关锯齿形、平台形子浪幅度的详细规则将在第 4 章“幅度”中详细阐述。

还有一个非常关键的问题，那就是既然所有的下跌都是三波形态，且无论锯齿形还是平台形，它们的 A 浪都又是一个小级别 ABC，那么，是否能把一个 A 浪认定为一个熊市的完整 ABC 呢？这里要说一个规则，那就是一个完整的 ABC 调整必须回撤超过大牛市涨幅的 50% 以上，否则只能认定为一个大级别形态的 A 浪。

图 2-4 为上证指数 2008 年 5 月 6 日开始的锯齿形调整，其中 B 浪反弹未超过 A 浪幅度的 61.8%，且 C 浪跌幅与 A 浪几乎一致。



图 2-4 上证指数 2008 年 5 月 6 日开始的锯齿形调整

图 2-5 为上证指数 2015 年 7 月 24 日开始的平台形调整，其中 B 浪反

弹超过 A 浪幅度的 61.8%，且 C 浪跌幅远超 A 浪。



图 2-5 上证指数 2015 年 7 月 24 日开始的平台形调整

当然，锯齿形和平台形更详细的区别远不止于此，它们的更多区别以及区分两者形态的方法将在本书之后的章节详细探讨。

X 浪定理

X 浪是指联合形调整之中连接两个 ABC 三波形态的一个上涨三波形态。

X 浪指的是当市场走完一个 ABC 三波下跌之后，市场继续以 ABC 进行调整，这两次 ABC 调整被称为 WXY，中间联结两个 ABC 形态的反弹便称为 X 浪。艾略特并未发现 X 浪的特殊性并对其命名，波浪理论的后继研究者普莱切特在之后的研究中将其命名为 X 浪。

能否把 WXY 看作是一个更大级别的 ABC 呢？这个想法其实貌似符

合直观的逻辑，WXY 在一定的规则范围内确实符合 ABC 三波的规则，但问题在于，WXY 并不能符合 ABC 三波形态的所有规则。仅仅凭这一点，我们独立命名 WXY 形态就显得非常有必要了。

X 浪的概念作为一个独立的形态被单独设定出来还是有必要性的。一个很简单的原因在于，如果没有 X 浪的单独命名，这个里面就会存在一个变数，那就是在熊市下跌的中途，如果出现了一个在形态、幅度、时间都符合锯齿形调整或者平台形调整的三波形态，我们能够根据 ABC 形态定理找到“充分条件”去确认其 ABC 为锯齿形或者平台形吗？如果我们总以为三波调整本身可以是一个更大级别 ABC 下跌形态的一部分，也可以是一个完全独立的 ABC 三波形态，那么 ABC 理论上讲永远无法被认定，至少是提前于熊市结束认定。因此，如果三波本身完全符合锯齿形或者平台形的任意一套规则，那么，我们就应当无条件地认定其为 ABC 形态，之后的上涨则应当被记为 X 浪而不是 B 浪，之后的下跌应记为另一个独立的 ABC 三波形态，其也可以是锯齿形调整或者平台形调整。就如普莱切特的命名一样，X 浪连接的两个 ABC 应当被分别命名为 W 浪和 Y 浪。这样给下跌形态进行命名，事实上恰好符合了一个观察到的原因，那就是 WXY 三波并不符合全部的 ABC 规则，无论是锯齿形调整或者平台形调整的三波形态所遵守的幅度、角度、方向等定理体系，都无法完全被套用在其中。另外，在大熊市之中，如果一个 ABC 调整幅度已经超过了牛市涨幅的 50%，我建议可以认定为一个完整的 ABC 调整形态。

我们应该在熊市之中形成一个概念的框架，那就是熊市有两类情况：一种为 ABC 形态的锯齿形或者平台形其中之一单独完成熊市调整，另一种为锯齿形与平台形的任意结合，普莱切特称之为联合形调整。联合形调整可能产生 4 种情况的形态组合：锯齿形 + 锯齿形、平台形 + 平台形、锯齿形 + 平台形、平台形 + 锯齿形，以上四种形态组合应记为 WXY 调整。

在本书中，以 ABC 标记的波浪表示其为一个完整形态，以 WXY 标记的波浪则是两个 ABC 形态组合成的联合形调整。需要指出，平台形 + 平台形在熊市之中从未出现过。

从全球主要股市历史形态来看，X 浪在熊市之中出现的概率约为 24%，也就是说，大多数熊市以 ABC 形态完成调整，少数熊市以 WXY 形态完成调整。但是，在我国两次大熊市之中，2008 年和 2015 年都是以 WXY 完成的调整。本书随后将单独设立第 12 章“X 浪的深化”，从 X 浪的形态、幅度、数量等多个方面探讨 X 浪的细节，希望能够帮助读者在熊市之中抓住为数不多的反弹机会，在熊市之中更有把握地获利。

图 2-6 为上证指数 2008 年 4 月 22 日开始的 X 浪，其连接熊市之中的两个锯齿形调整。



图 2-6 上证指数 2008 年 4 月 22 日开始的 X 浪

图 2-7 为上证指数 2015 年 7 月 9 日开始的 X 浪，其连接熊市之中的锯齿形和平台形调整。



图 2-7 上证指数 2015 年 7 月 9 日开始的 X 浪

三角形定理

三角形调整是指 ABCDE 五波的下跌形态，并且后一浪幅度必须短于前一浪。

艾略特认为，三角形调整有收缩三角形调整和扩张三角形调整。在此，笔者的观点和艾略特的波浪理论区别较大。首先，三角形只有一个运动方向，那就是下跌，也就是说，三角形的 A、C、E 浪一定是向下运行的，其中原因可参照本书第 1 章牛熊形态差异的解释，那就是上涨应当是合力作用，而三角形显然是没有合力的无方向运动。其次，三角形调整一般出现在小级别的子浪之中。在牛市之中，无论是三波还是五波上涨，三角形都不能作为一个最大级别的调整子浪也就是 2、4 浪存在，在熊市之中，其很少以独立的形态来完成熊市的调整。最后，三角形调整只有一种形态，那就是收缩三角形，不存在扩张三角形。扩张三角形代表市场在一

个形态之中五次变化方向，这在原理上无法去解释，更重要的在于，我从未在任何国家的股市指数形态之中观察到扩张三角形。

三角形调整是熊市中唯一不属于 ABC 形态体系的下跌形态。三角形调整在股市指数之中出现的概率较低，艾略特波浪理论把楔形归类为倾斜三角形，但是楔形并不像三角形一样存在理论上的五波。本书为了使概念界定更为合理，把倾斜三角形称为楔形，因为两者在形态、内部特征、出现位置都有极大区别，并不适合放在同一类别之中。因此，本书所指的三角形并不包括楔形也就是倾斜三角形。当然，楔形也不存在扩张楔形，如果存在，也不能称为楔形了。

三角形调整中的相邻子浪幅度遵循斐波那契幅度、时间、角度比例。从历史的观察结果发现，三角形相邻子浪常常遵循 76.4% 的比例关系，三角形相邻两边之比应大于 61.8%，当然，对于一个三角形来讲这个回调幅度很难再少了。判断一个形态即将发展为三角形调整，必须等待其至少走出三角形 D 浪甚至 E 浪之后，才能初步判定将要出现三角形调整，因此三角形被事后认定的可能性更大。三角形出现后的意义在于判断其之后将会向其相反的方向运行。

总之，在股票市场之中，三角形的重要性不能和锯齿形、平台形相提并论，三角形调整出现的级别、频率与后两者不同。熊市一般只能由平台形、锯齿形或者是两者的任意组合完成，三角形以独立形态完成熊市的概率几乎可以忽略不计；另外，三角形调整出现的频率与后两者也不同，三角形调整出现的频率不高，而锯齿形与平台形可出现在任何周期的下跌之中。市场很少在大周期中出现多空力量均衡，且即使出现这种力量的均衡，这种均衡也将很快会被打破，因此三角形大多出现在中小周期调整之中。

图 2-8 是日本东京日经 225 指数 2013 年 5 月 23 日至 10 月 8 日的三角形调整。其位置为弱三波形态大牛市之中的小级别子浪，从图中可以看

到，其运行形态为三角形，在其 E 浪结束之后，市场继续上攻并超越了三角形 A 浪的起点。



图 2-8 日本东京日经 225 指数 2013 年 5 月开始的三角形调整

图 2-9 为上证指数 2013 年 2 月下旬至 2014 年 6 月的大周期三角形调整，运行时间超过一年半，这几乎是全球 30 年来唯一一次大级别三角形调整。大周期形态的子浪往往会更加精准地符合斐波那契比例关系。测量后我们发现，相邻子浪幅度比例约为 0.691，符合扩展的斐波那契比例（扩展的斐波那契比例将在第 5 章“时间”中详细阐述）。在这之后，上证指数走出了 2015 年大牛市。



图 2-9 上证指数 2013 ~ 2014 年的三角形调整

楔形定理

楔形分为终结楔形与引导楔形，其各自又存在上涨和下跌两种类型。

楔形是一个以几何形态归类的方法，楔形可分为引导楔形和终结楔形，且引导楔形和终结楔形都有上涨和下跌两种情形。充分理解楔形的形态特征，对于理解、判断大盘趋势有着极为重要的作用。楔形并不是波浪形态架构上的一个新的形态，其仍然符合三波、ABC形态的规则。顾名思义，引导楔形是市场在一个趋势开始的初期，交易者对于市场预期的不明朗导致大盘指数在一个相对窄幅区间震荡，而终结楔形是在一个趋势接近尾声时，交易者继续看涨或者看跌的力量慢慢衰竭。楔形是股市波动之中出现频率较高的一种形态，其分布在中小周期之中。

与三角形横盘下跌形态明显不同，楔形不仅有明确的涨跌方向，而且可以上涨也可以下跌。楔形既可以作为引导楔形出现在形态的开始，也可以作为终结楔形出现在形态的结束。艾略特波浪理论把楔形归类为倾斜三角形，虽然命名无所谓对错，但是这种归类方法混淆了三角形和楔形的本质区别，并容易误导把三角形的各种特征加在楔形之上，或者把楔形的各种特征加在三角形之上，这会导致形态判断错误，最终无法正确判断股市趋势。因此，楔形与三角形的明确区分是本书对波浪理论概念优化的重要内容之一。

艾略特波浪理论认为楔形和三角形一样存在ABCDE五波，并且认为引导楔形内部子浪应分别为5-3-5-3-5，也就是说，与形态方向相同的A、C、E浪应为五波，与形态方向相反的B、D浪应为三波；终结楔形内部子浪应分别为3-3-3-3-3，也就是说，与形态方向相同的A、C、E浪应为三波，与形态方向相反的B、D浪也应为三波。但是，笔者却并不认同以上观点。在楔形内部形态细节的解读上，首先，楔形理论上不存在和三角

形一样的五波形态；其次，无论是引导楔形还是终结楔形，两者子浪内部结构都应当分别遵循三波或者 ABC 形态的要求；最后，不应以子浪的形态来确定其为引导楔形或者终结楔形，判断一个楔形是终结楔形还是引导楔形，更重要的是以其形态、位置等方式判断。有关楔形的识别、级别、数浪、子浪形态细节将在第 11 章“楔形的深化”中详细展开。

图 2-10、图 2-11、图 2-12、图 2-13 为四种楔形，包含了楔形的所有四种形态。你能从中判断其为哪种楔形类型吗？答案请见第 11 章。



图 2-10 上涨引导楔形



图 2-11 下跌引导楔形



图 2-12 上涨终结楔形



图 2-13 下跌终结楔形

3 浪不能最短定理

五波上涨之中，3 浪不能最短，如果 3 浪不是最长子浪，则只能短于 5 浪。

艾略特波浪理论之中，五波上涨的3浪不能最短这个观点已经被提出，但其解释的方式和细节与本书有较大不同。波浪理论认为，在五波上涨过程之中，1浪和5浪都可以长于3浪，但是不能同时长于3浪。1浪长于3浪，是因为1浪走出延长浪；5浪长于3浪，是因为5浪走出延长浪。笔者对于上述形态解释有些不同看法。

笔者认为，只有5浪能走出延长浪，1浪不能存在延长浪。为什么呢？这还得从逻辑上进行推理。5浪延长本质体现了股市波动原理的“有限预测假说”。我们可以想象，在一个五波上涨已经处在5浪之中时，根据3浪不能最短定理，貌似5浪将会以短于3浪的幅度结束，但是，突然的场外资金进场所形成的合力使得大盘继续上攻。5浪有机会走出延长浪，这也是股市有限预测假说的内在原理对于市场的内在要求。但是，五波上涨过程之中的1浪延长就显得完全没有必要，1浪本身是上涨过程之中的开始，即使有预料之外的利好推动大盘向更高的结束位置前进，其也大可不必把上涨力量放在1浪，因为之后还有3浪和5浪。让1浪延长或者说让1浪成为五波之中最长的浪，不仅在理论逻辑上说不通，更是在股票市场的历史形态之中没有出现过。无论是从观察还是逻辑上来讲，五波上涨过程中，3浪不能是最短的浪，如果有比3浪长的子浪，那只能是5浪。

一个五波形态之中的3浪不能最短，这是股票市场众多规律之中非常重要的一个定理。5浪可以是五波之中幅度最大的一波，但这种情况出现的概率仅为两成。当五波之中3浪未必最长，且1浪不能最长时，2、4浪显然不能是五波上涨之中最长的浪，那只有1种3浪不是五波之中最长浪的可能性，那就是5浪最长。

图2-14为上证指数2007年大牛市，从中我们可以看出5浪幅度为3浪的138.2%。



图 2-14 上证指数 2007 年的五波大牛市

2 浪幅度定理

2 浪回调不能超过 1 浪幅度的 80.9%。

2 浪回调幅度不能超过 1 浪，这是艾略特波浪理论的观点。或许所有人都会认为在一个五波上涨过程之中，2 浪可以回调超过 1 浪起点，那样的五波实在看起来有点怪异。但只要存在可能的理论疏漏，我们都应当进行描述使其杜绝模棱两可的选择。事实上，正是这种看似多此一举的规则，才能让我们能够在尽可能严谨的理论体系之下判断大盘趋势。

在这里必须补充一个笔者观察所得的规律，这个规律与艾略特所定义的 2 浪回调幅度有所不同，那就是 2 浪回调在我的统计范围内并未出现回调超过 1 浪涨幅 80.9% 的情况，因此本书认定，2 浪回调幅

度应当不超过 1 浪涨幅的 80.9%。80.9% 也是一个重要的扩展斐波那契比例。

这个定理告诉我们几个事情。首先，1 浪起点任何时候都不能被跌破，这也是判断之后上涨形态与先前 1 浪的子浪关系是否成立的重要标准，即使 2 浪回调了 1 浪的大部分涨幅，之后的上涨也可以是 3 浪而不是新周期的开始。

五波上涨的子浪之中，1、3、5 浪也可以是五波，但未必全部是五波，五波之中的任何子浪也可以是三波。而 2、4 浪呢？2、4 浪作为调整浪，其内部结构应当是 ABC 三波结构，并且 2、4 浪也可以是锯齿形或者平台形。至此，我们对波浪理论有了更进一步的理解，那就是上涨总是五波或者三波，而下跌总是三波，但是，下跌三波与上涨三波的形态规则完全不同，这在之后的章节会展开详细讨论。这里要讲一下小级别 ABC 的概念。2 浪理论上是 ABC 形态三波回调，在任何周期之中，向下调整的形态的内部结构必须都以 ABC 三波来运行，因此，在小周期之中，锯齿形与平台形的法则原则上仍然有效，当然，还有一些特殊的回调方式我们也会在第 3 章“形态（扩展篇）”讲到。

但是，2 浪和 4 浪由于所处五波阶段的位置不同，因此，其幅度、形态有其自身规律。2 浪是牛市开启 1 浪的五波上涨之后的第一次回调，其特征是回调幅度的范围较大，也就是说其回调可以在先前 1 浪整个涨幅的 23.6% ~ 80.9%。2 浪回调虽然波动幅度较大，但大牛市的 2 浪往往不会回调超过 1 浪涨幅的 50%，一般回调幅度都会小于 1 浪涨幅的 38.2%。

图 2-15 为上证指数 2015 年 9 月 16 日开始的中小周期五波牛市，其 2 浪回撤 1 浪涨幅的 80% 左右，回撤幅度在 2 浪的历史形态之中算是很大了。



图 2-15 上证指数 2015 年 9 月开始的五波

2、4 浪不重合定理

五波上涨之中，2 浪与 4 浪不存在重合区间，且 2、4 浪形态往往在锯齿形和平台形之中交替。

2、4 浪不重合是艾略特波浪理论之中的重要定理。2、4 浪不能有重合区间，这是判断一个五波趋势是不是一个五波上涨形态的关键所在。如果 2、4 浪重合，那么 2 浪和 4 浪的认定就是错误的，其中之一并不属于一个大级别浪，或者两者根本就不是一个五波形态之内的子浪关系。

2、4 浪没有重合区间，这在另一层意义上表示 3 浪向上运行的空间应当足够大，不仅要越过 2 浪的起点，而且要继续上涨给出足够的 4 浪回调的空间。从这个意义上说，3 浪一般是五波之中的最长子浪也就合情合理了。

图 2-16 为上证指数 2016 年 3 月 1 日开始的小周期五波上涨，其 2 浪

运行区间与 4 浪运行区间没有显著的重合区域。



图 2-16 上证指数 2016 年 3 月开始的五波

形态交替是艾略特波浪理论之中的一个观点。所谓形态交替，是指任何五波之中的 2、4 浪都有不小的概率进行形态交替，当 2 浪为锯齿形时，则 4 浪更有可能出现平台形；反之，当 2 浪为平台形时，则 4 浪更有可能出现锯齿形，但这种形态交替并不一定会发生，也就是说，形态交替的概率虽然较高，但 2、4 浪形态交替的规律也不是必须出现的。2、4 浪的形态有较大的概率交替，但从历史观察来看，这种交替并未延伸到幅度上。也就是说，2、4 浪的回调幅度并不存在 2 浪小、4 浪大，或者 2 浪大、4 浪小这种交替关系。

形态交替不仅发生在牛市之中，也发生在熊市之中。在联合形调整熊市之中，W 浪和 Y 浪约 50% 的概率为不同的 ABC 形态，也就是说，锯齿形、平台形会有 50% 的概率同时出现在 WXY 的联合形调整之中。形态交替其实不仅限于大周期，其在小周期之中也常常呈现。图 2-17 为上证指数 2015 年的大牛市，从中我们可以看到 2、4 浪出现了形态交替，2 浪为平台形调整而 4 浪为锯齿形调整。



图 2-17 上证指数 2015 年大牛市的 2、4 浪形态交替

斐波那契幅度定理

无论是三波、五波还是 ABC，形态内部的子浪都应当存在斐波那契比例关系。

任何形态内部的子浪幅度都应当存在稳定的斐波那契比例关系，这是我们判断大盘必不可少的一种方式，因此，斐波那契比例是一个确定大盘各个浪形关系的关键方法。

斐波那契数列是研究波浪理论需要去学习的一点数学知识，但其并不复杂。斐波那契数列由意大利人莱昂纳多·斐波那契（Leonardo Fibonacci）发现。斐波那契发现，从 0、1、1 开始，当后一个数字是先前两个数字之和时，那么这种数列将会呈现出 0、1、1、2、3、5、8、13、21、34、55、89、144、233、377、610、987…这样的数列，这种数列的一个重要特点是越往后，前一项与后一项的比值越来越接近 0.618（或者说后一项与前一项的比值的小数点之后部分越来越接近 0.618）。0.618 是这样一个数字：

把一条线段分割为两部分，使较大部分与全长的比值等于较小部分与较大部分的比值，则这个比值即为黄金分割。斐波那契数列可以引申出斐波那契比例。我们用 $1-0.618=0.382$ ，而 $0.618 \times 0.382=0.236$ ， $1-0.236=0.764$ ，因此，我们得到了 0.236、0.382、0.618、0.764 这四个最常用的斐波那契比例。我们还可以衍生出的 1.236、1.382、1.618、1.764、2.382、2.764... 再加上 0.5、1、1.5、2 等整数与半分位小数。

斐波那契比例是神秘却又自然呈现的法则，正如本书第 1 章所讲，当我发现股票市场之中的这些形态子浪的幅度比例完全符合这些比例关系时，股市有其规律这个想法就显得不再那么疯狂了。运用斐波那契比例，我们就可以预测和验证 2 浪、4 浪、B 浪幅度与 1 浪、3 浪和 A 浪的幅度之比，也可以预测 3 浪、5 浪、C 浪的幅度与 1 浪、3 浪和 A 浪的幅度之比。总之，三波、五波、ABC 之中的子浪比例必须符合斐波那契比例，这是一个简单且行之有效的判断两个子浪是否属于一个更大级别形态之中的必要条件。

图 2-18 为上证指数 2016 年 5 月底开始的小周期双峰牛市，其中 3 浪涨幅为 1 浪的 2 倍，2 浪回撤 1 浪涨幅的 100%。



图 2-18 上证指数 2016 年 5 月开始的双峰

图 2-19 为上证指数 2017 年 1 月 17 日开始的小周期弱三波牛市，其

中 3 浪涨幅为 1 浪的 0.382 倍，2 浪回撤 1 浪涨幅 30.9%。



图 2-19 上证指数 2017 年 1 月开始的弱三波

斐波那契时间定理

无论是牛市还是熊市，其运行时间应当符合斐波那契数列。

艾略特把斐波那契数列运用在了大周期波浪的各个子浪或者独立形态。艾略特认为，1、2、3、5、8、13、21、34、55、89、144、233、377、610……这些数字应当是一个牛市形态或者是熊市形态的运行周期，其单位可以是日、周、月、年。

当然，无论牛市还是熊市，不可能在所有时间级别都满足对应一个斐波那契数列元素，一般会有一个最近似正确的 K 线周期。以美国股市来讲，月、年级别 K 线对应斐波那契数列的成功率较高，而我国股市在日、月级别 K 线对应斐波那契数列的成功率较高。这和我国股市高换手率有直接的关系。高换手率会导致形态完成的时间周期较短，我国股市散户比例偏高、短线交易盛行，这是高换手率的根本原因。从欧美国家与亚洲国家

和地区的股市形态来看，以中国的上海、深圳、香港、台湾以及日本为代表的亚洲股市市场的形态周期与美国、欧洲股市的形态周期有不小差异。中国和日本的股市常常会出现小周期形态，有些形态的完成甚至不到一个月，而欧美国家却很少出现小周期形态，但是，东西方国家和地区的股市都会出现长达数年的牛熊周期。因此，当谈到一个牛市或者熊市符合斐波那契数列之中的元素时，一定要根据这个牛市或者熊市的时间长度选择合适的周期单位，而后再去对照一个形态是否符合斐波那契数列。

本定理的作用是判断一个形态是否在时间上已经完成，或者说预测一个形态可能的结束时间。但是，并不是所有的形态运行周期都能够完美地落在这些数字之上，这就需要另一种方式来判断时间与形态的关系。笔者还有另一种运用斐波那契比例的方法来预测时间拐点，其详细内容将在第5章“时间”中和大家分享。

图 2-20 为美国标准普尔 500 指数 1995 ~ 2017 年的牛熊循环，可以看到以年为单位的牛市与熊市周期符合斐波那契时间定理。



图 2-20 美国标准普尔 500 指数 1995 ~ 2017 年的牛熊循环

本章已经勾画了股市波动的形态规律框架，并详细介绍了艾略特波浪理论体系在本书的提炼与修正。更多的股市波动原创定理请见本章之后的其他章节。